

**Четверная взаимная система  $\text{Li},\text{Na},\text{Ca}/\text{F},\text{WO}_4$** 

к.х.н. доц. Салманова С.Д., к.т.н. проф. Курбанмагомедов К.Д.

Институт (филиал) ФГБОУ ВПО «МГОУ им. В. С. Черномырдина» в г. Махачкале  
+79064489193, [dimgou\\_nir@mail.ru](mailto:dimgou_nir@mail.ru), +79034290457, [dimgou@mail.ru](mailto:dimgou@mail.ru)

д.х.н. проф. Гасаналиев А.М.

НИИ общей и неорганической химии ДГПУ

**Аннотация.** Впервые проведена дифференциация четверной взаимной системы  $\text{Li},\text{Na},\text{Ca}/\text{F},\text{WO}_4$ , построено древо фаз и выявлены стабильные комплексы системы. Выведены реакции химического взаимодействия, характерные для линий полной конверсии для данной четверной взаимной системы и подтверждены методом рентгенофазового анализа. Дифференциально-термическим анализом с применением проекционно-термографического метода исследована четырехкомпонентная система  $\text{LiF}-\text{Li}_2\text{WO}_4-\text{Na}_2\text{WO}_4-\text{CaWO}_4$ , являющаяся стабильным тетраэдром четверной взаимной системы  $\text{Li},\text{Na},\text{Ca}/\text{F},\text{WO}_4$ . Построена и экспериментально подтверждена топологическая модель диаграммы состояния данной системы, выявлены две нонвариантные точки.

**Ключевые слова:** физико-химический анализ, система, компонент, эвтектика

При разработке технологических процессов получения вольфрама и вольфрамовых покрытий все большее внимание исследователей привлекает гальванотехника в расплавленных электролитах, содержащих галогениды щелочных и щелочноземельных металлов и соединения вольфрама [1, 2]. В связи с этим представляет интерес процесс выявления растворимости и химического взаимодействия природного минерала шеелита ( $\text{CaWO}_4$ ) в четверной взаимной системе из фторидов и вольфраматов лития, натрия, кальция.

**Экспериментальная часть**

Экспериментальные исследования проводили методом дифференциально-термического анализа (ДТА) [3] с использованием проекционно-термографического метода (ПТГМ) [4] в платиновых тиглях, измерителем температуры служили Pt-Pt/Rh-термопары. Для записи кривых ДТА применяли потенциометрическую установку ЭПР-09 МЗ. В качестве усилителя термо-ЭДС дифференциальной термопары использовали фотоусилитель Ф116/7. Измерения выполняли в атмосфере аргона. Рентгенофазовый анализ (РФА) [5] проводили методом порошка на установке ДРОН-3,0 в  $\text{CuK}_\alpha$ -излучении. Образцы для РФА нагревали до  $400^0 \text{C}$ , тщательно перетирали в агатовой ступке, а затем выдерживали при определенной температуре в течение 30 часов для достижения фазового равновесия. В работе использовали соли квалификаций «ч.д.а.» и «х.ч.». Все составы выражены в мольных процентах, а температуры – в градусах Цельсия.

**Теоретическая часть**

Система  $\text{Li},\text{Na},\text{Ca}/\text{F},\text{WO}_4$  является четверной взаимной, в элементы ее ограничения входят две тройные ( $\text{Li},\text{Na},\text{Ca}/\text{F}$ ,  $\text{Li},\text{Na},\text{Ca}/\text{WO}_4$ ) и три тройные взаимные ( $\text{Li},\text{Na}/\text{F},\text{WO}_4$ ,  $\text{Li},\text{Ca}/\text{F},\text{WO}_4$ ,  $\text{Na},\text{Ca}/\text{F},\text{WO}_4$ ) системы (рис.1). Характерной особенностью ограничивающих элементов исследуемой системы является наличие двух соединений инконгруэнтного плавления ( $\text{D}_1-\text{Na}_3\text{FWO}_4$ ,  $\text{D}_2-\text{Li}_4\text{Na}_2(\text{WO}_4)_3$ ).

**Тройные системы**

$\text{Li},\text{Na},\text{Ca}/\text{F}$  [6]. Система эвтектического типа. Эвтектика плавится при  $607^0 \text{C}$  и содержит 52%  $\text{LiF}$ , 37%  $\text{NaF}$  и 11%  $\text{CaF}_2$ .

$\text{Li},\text{Na},\text{Ca}/\text{WO}_4$  [7]. В системе реализуются две нонвариантные точки (НВТ) эвтектического и перитектического характера. Эвтектика содержит 47,5%  $\text{Li}_2\text{WO}_4$ , 1,5%  $\text{Na}_2\text{WO}_4$  и 1%  $\text{CaWO}_4$  и плавится при температуре  $480^0\text{C}$ ; перитектика - 63%  $\text{Li}_2\text{WO}_4$ , 35%  $\text{Na}_2\text{WO}_4$  и 2%

**Тройные взаимные системы**

Из трех тройных взаимных систем, ограждающих систему Li,Na,Ca//F,WO<sub>4</sub> две относятся к системам диагонального типа (Li,Na//F,WO<sub>4</sub>; Li,Ca//F,WO<sub>4</sub>), одна – к адиагональному типу (Na,Ca//F,WO<sub>4</sub>). Данные по нонвариантным точкам (НВТ) этих систем представлены в таблице 1.

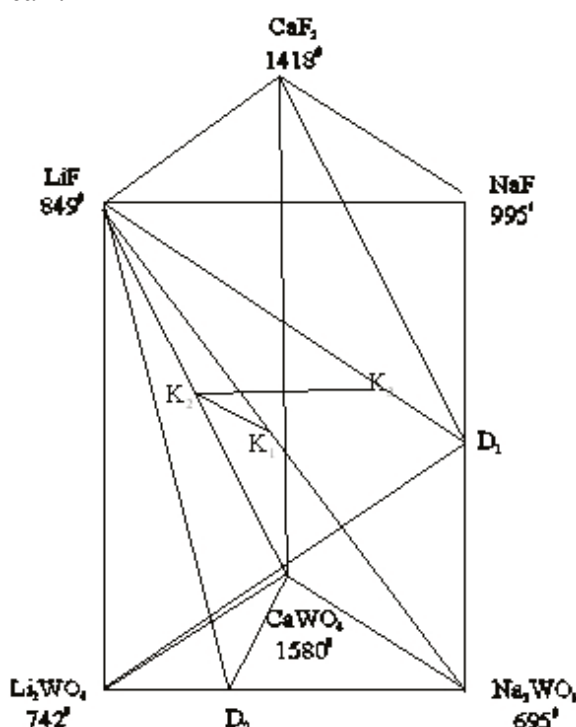
Таблица 1

Данные по НВТ тройных взаимных систем

Система	Нонвариантные точки	t, °C	Состав, % мол				Литера- тура
			I	II	III	IV	
Li, Na//F, WO <sub>4</sub>	P <sub>1</sub>	560	46,4	-	11,5	42,1	[8]
	P <sub>2</sub>	538	-	23,4	41,3	35,3	
	E	476	26,1	29,1	-	44,8	
	P <sub>3</sub>	486	18,9	34,7	-	46,4	
Li, Ca//F, WO <sub>4</sub>	e	765	87	-	-	13	[7]
	E <sub>1</sub>	635	37,4	60,9	-	1,7	
	E <sub>2</sub>	734	80,9	-	6,84	12,26	
Na, Ca//F, WO <sub>4</sub>	E	615	8,2	84,9	6,9	-	[8]
	P <sub>1</sub>	658	23,0	60,8	16,1	-	
	P <sub>2</sub>	668	36,6	46,4	17,0	-	

**Результаты и их обсуждение**

При исследовании четверной взаимной системы мы ставили две цели: выявление и подтверждение реакций химического взаимодействия солей во взаимной системе и определение параметров равновесных состояний в изучаемом стабильном тетраэдре. Согласно конверсионному методу [9], сущность обменных процессов во взаимных системах отражают те геометрические элементы диаграмм составов, которые принадлежат как стабильному, так и метастабильному комплексам.

Рисунок 1. Призма составов системы Li,Na,Ca//F,WO<sub>4</sub>

Таким элементом в данном случае являются линии полной конверсии  $K_1$ - $K_2$  и  $K_2$ - $K_3$  (рисунок 1). Точки  $K_1$ ,  $K_2$  и  $K_3$  являются точками полной конверсии тройных взаимных систем  $Li, Na//F, WO_4$ ,  $Li, Ca//F, WO_4$  и  $Na, Ca//F, WO_4$  соответственно. При этом в точке  $K_1$  наряду с реакцией обменного разложения  $Li_2WO_4 + 2NaF = 2LiF + Na_2WO_4$  протекает и реакция комплексообразования:



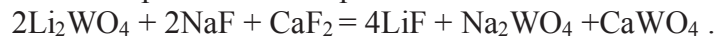
что подтверждается методом РФА.

В точке  $K_2$  наблюдается полная конверсия вольфрамата лития и фторида кальция по реакции:

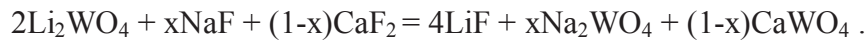


что также подтверждается методом РФА.

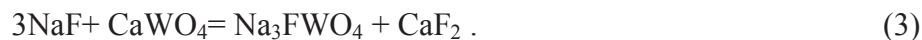
Вследствие того, что линия полной конверсии  $K_1$ - $K_2$  образована пересечением стабильного  $LiF-Na_2WO_4-CaWO_4$  и метастабильного  $Li_2WO_4-NaF-CaF_2$  комплексов, то центральной точке линии полной конверсии отвечает реакция:



Для любых других точек указанной линии можно написать в общем виде следующее уравнение реакции:



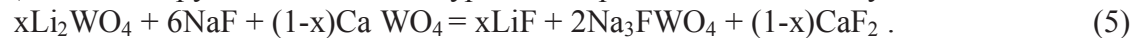
Подобным образом выведено уравнение реакции для центральной точки линии полной конверсии  $K_2$ - $K_3$ . Методом РФА подтверждено, что в точке  $K_3$ , являющейся точкой полной конверсии тройной взаимной системы  $Na, Ca//F, WO_4$ , протекает реакция комплексообразования:



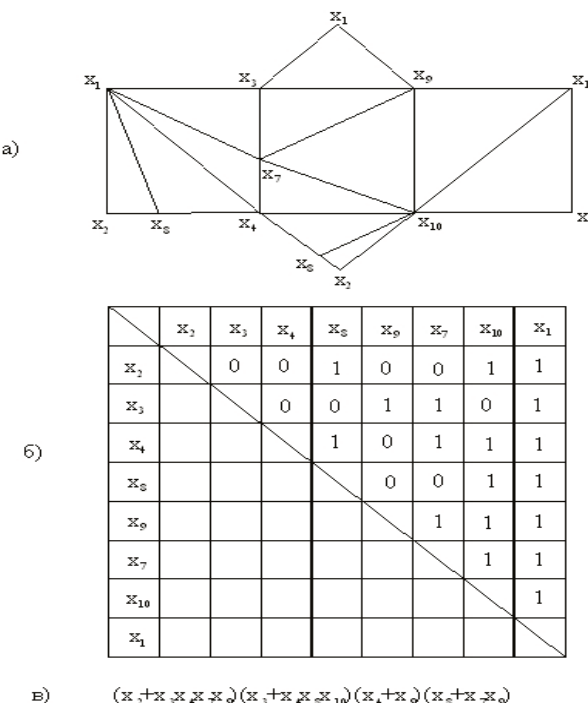
Тогда центральной точке линии полной конверсии  $K_2$ - $K_3$  отвечает реакция:



Для любых других точек данное уравнение реакции имеет следующий вид:



Таким образом, выведены реакции химического взаимодействия, характерные для линий полной конверсии четверной взаимной системы  $Li, Na, Ca//F, WO_4$ .

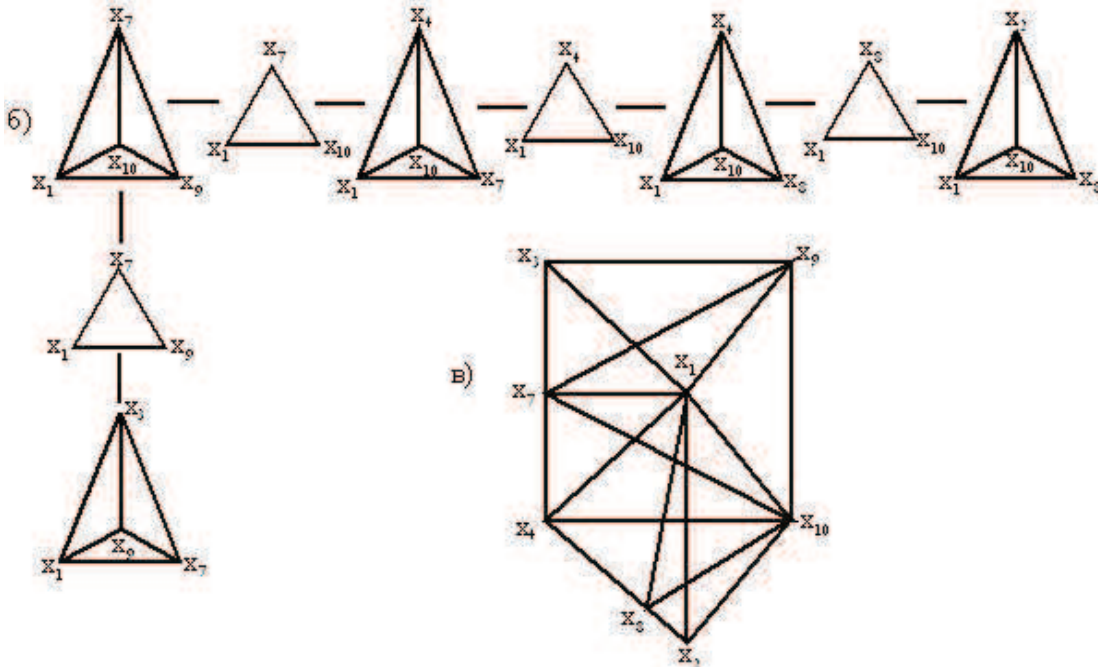


$$\text{b)} \quad (x_1 + x_2 + x_3 + x_4 + x_5 + x_6 + x_9 + x_{10}, x_3 + x_4 + x_5 + x_6 + x_8, x_4 + x_5 + x_6 + x_7, x_5 + x_6 + x_7 + x_9, x_6 + x_7 + x_8 + x_9, x_7 + x_8 + x_9 + x_{10}, x_9 + x_{10})$$

**Рисунок 2. Дифференциация системы  $Li, Na, Ca//F, WO_4$ : а) развертка, б) матрица инциденций, в) произведение сумм несмежных пар символов вершин**

Нами впервые проведена дифференциация исследуемой системы (рисунок 2) по методике, предложенной в [10]. В ходе дифференциации выявлены 5 фазовых единичных блоков (ФЕБ) системы и построено древо фаз (рисунок 3).

- a)  $x_1x_2x_9$  LiF - NaF -  $D_1$  - CaF,  
 $x_1x_2x_{10}$  LiF -  $D_1$  - CaF<sub>2</sub> - CaWO<sub>4</sub>,  
 $x_1x_4x_{10}$  LiF - Na<sub>2</sub>WO<sub>4</sub> -  $D_1$  - CaWO<sub>4</sub>,  
 $x_1x_4x_{10}$  LiF - Na<sub>2</sub>WO<sub>4</sub> -  $D_1$  - CaWO<sub>4</sub>,  
 $x_1x_2x_9x_{10}$  LiF - Li<sub>2</sub>WO<sub>4</sub> -  $D_1$  - CaWO<sub>4</sub>,



**Рисунок 3. Четвертая взаимная система Li<sub>1</sub>Na<sub>2</sub>Ca//F<sub>1</sub>WO<sub>4</sub>:**  
**а) ФЕБы, б) древо фаз, в) призма составов**

При изучении четверной взаимной системы Li<sub>1</sub>Na<sub>2</sub>Ca//F<sub>1</sub>WO<sub>4</sub>, для экспериментального исследования была выбрана четырехкомпонентная система LiF-Li<sub>2</sub>WO<sub>4</sub>-Na<sub>2</sub>WO<sub>4</sub>-CaWO<sub>4</sub>, являющаяся стабильным тетраэдром этой системы, в состав которого входил неорганический растворитель (LiF) и вольфраматы щелочных и щелочноземельного металлов, одним из которых является природный минерал шеелит (CaWO<sub>4</sub>).

Планирование эксперимента проводилось с использованием ПТГМ: в объеме кристаллизации наиболее тугоплавкого компонента CaWO<sub>4</sub> выбрано двухмерное политермическое сечение KLM, являющееся наиболее информативным (рисунок 4). Вершинам выбранного сечения соответствуют следующие составы: K – 80% Li<sub>2</sub>WO<sub>4</sub> + 20% CaWO<sub>4</sub>, L – 80% LiF + 20% CaWO<sub>4</sub>, M – 80% Na<sub>2</sub>WO<sub>4</sub> + 20% CaWO<sub>4</sub> (рисунок 5). Из вершины вольфрамата кальция на стороны сечения KLM нанесены центральные проекции точек тройных нонвариантных равновесий (E<sub>1</sub>, E<sub>3</sub>, E<sub>4</sub>, P<sub>1</sub>). Рассматривая данное сечение как псевдотрекомпонентную систему, в ней для экспериментального исследования выбрали одномерный политермический разрез **ab**, где **a** – 60% Li<sub>2</sub>WO<sub>4</sub> + 20% CaWO<sub>4</sub> + 20% Na<sub>2</sub>WO<sub>4</sub>, **b** – 60% Li<sub>2</sub>WO<sub>4</sub> + 20% CaWO<sub>4</sub> + 20% LiF (рисунок 6). Последовательно изучая методом ДТА составы, расположенные на этом разрезе, нашли точки **ε** и **R**, являющиеся вторичными проекциями соответствующих четверных нонвариантных точек (рисунок 6). Для нахождения первичных проекций четверных точек **ε** и **R** исследованы лучевые разрезы L → **ε** → **ε** и L → **R** → **R** (рисунок 7a). Составы четверных нонвариантных точек **ε** и **R** определены исследованием лучевых разрезов CaWO<sub>4</sub> → **ε** → **ε** и CaWO<sub>4</sub> → **R** → **R** (рисунок 7б, таблица 2). Точка R представляет собой точку «выклинивания» инконгруэнтного соединения Li<sub>4</sub>Na<sub>2</sub>(WO<sub>4</sub>)<sub>3</sub>.

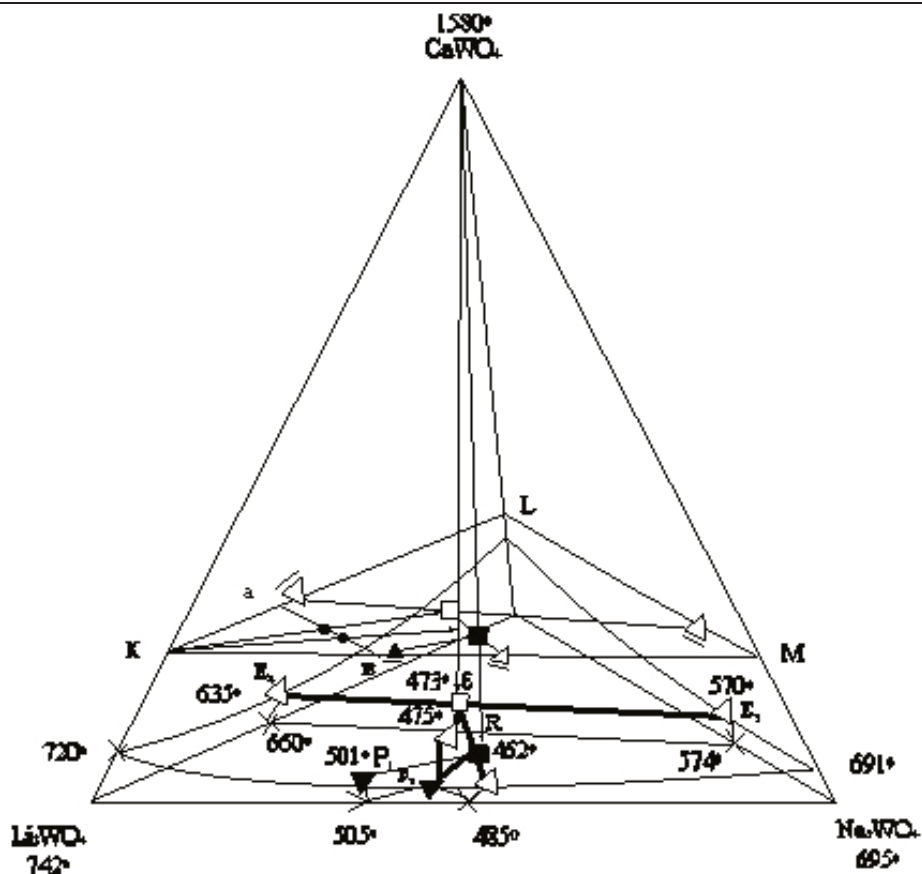


Рисунок 4. Диаграмма составов четырехкомпонентной системы  $\text{LiF}-\text{LiWO}_4-\text{NaWO}_4-\text{CaWO}_4$ , расположение двухмерного сечения KLM и разрезов: полигомогического – ab лучевых –  $K \rightarrow \bar{R} \rightarrow \bar{R}$ ,  $K \rightarrow \bar{\varepsilon} \rightarrow \varepsilon$  и нонвариантных  $\text{CaWO}_4 \rightarrow \bar{R} \rightarrow R$ ,  $\text{CaWO}_4 \rightarrow \bar{\varepsilon} \rightarrow \varepsilon$

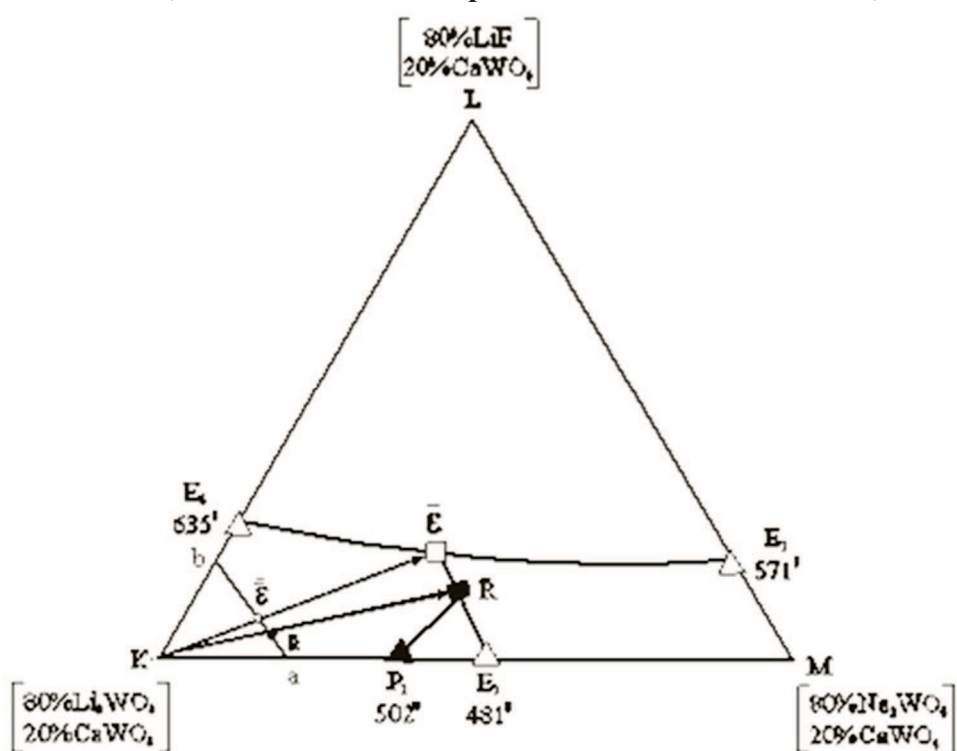


Рисунок 5. Двухмерное полигомогическое сечение KLM системы  $\text{LiF}-\text{LiWO}_4-\text{NaWO}_4-\text{CaWO}_4$  и расположение в нем полигомогического разреза ab

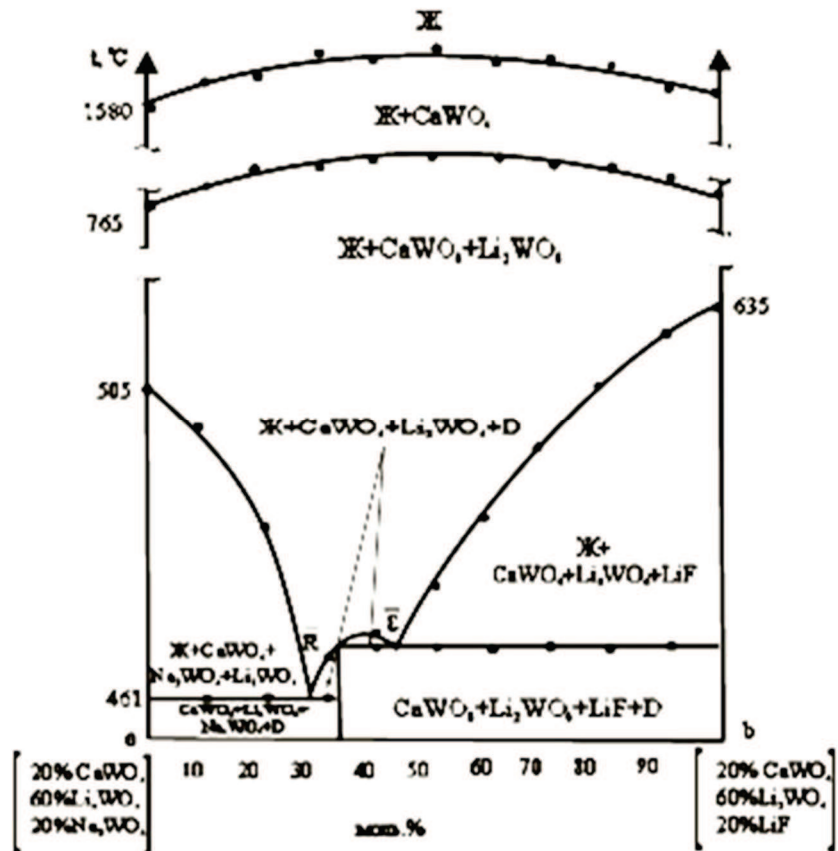


Рисунок 6. Диаграмма состояния политермического разреза ab системы LiF-LiWO<sub>4</sub>-NaWO<sub>4</sub>-CaWO<sub>4</sub>

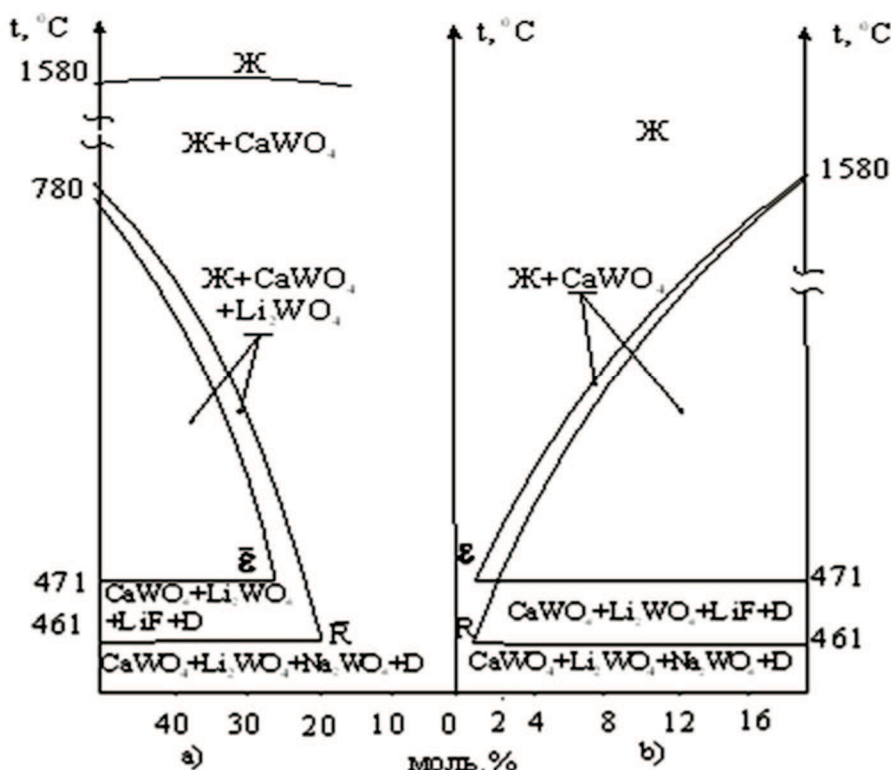


Рисунок 7. Диаграммы состояния лучевых (а)  $L \rightarrow \bar{R} \rightarrow \bar{R}$ ,  $L \rightarrow \bar{\varepsilon} \rightarrow \varepsilon$  и нонвариантных (б)  $CaWO_4 \rightarrow \bar{R} \rightarrow R$ ,  $CaWO_4 \rightarrow \bar{\varepsilon} \rightarrow \varepsilon$  разрезов системы LiF-LiWO<sub>4</sub>-NaWO<sub>4</sub>-CaWO<sub>4</sub>

Таблица 2

**Характеристики нонвариантных точек системы  
 $\text{LiF} - \text{Li}_2\text{WO}_4 - \text{Na}_2\text{WO}_4 - \text{CaWO}_4$**

Обозначение	$t, ^\circ\text{C}$	Составы, мол. %			
		$\text{LiF}$	$\text{Li}_2\text{WO}_4$	$\text{Na}_2\text{WO}_4$	$\text{CaWO}_4$
R	461	19	34	45	2
E	471	27	28	43	2

### Выводы

- Выявлены и подтверждены реакции химического взаимодействия солей в четверной взаимной системе Li, Na, Ca//F, WO4.
- Комплексом методов физико-химического анализа исследована четырехкомпонентная система LiF-Li2WO4-Na2WO4-CaWO4, являющаяся стабильным тетраэдром системы Li,Na,Ca//F,WO4, найдены две четверные нонвариантные точки.
- Топологический анализ диаграммы состояния системы LiF- Li2WO4-Na2WO4-Ca WO4 позволяет сделать вывод о перспективности найденных низкоплавких смесей для электрохимического получения вольфрама и вольфрамовых покрытий.
- Содержание LiF, являющегося неорганическим растворителем, значительно понижает температуры плавления смесей, что выгодно экономически и технологически.

### Литература

- Шурдумов Б.К., Каров З.Г., Шурдумов Г.К. Химия и технология молибдена и вольфрама. Нальчик, 1971. Вып. 1. с. 87.
- Гасаналиев А.М., Гаркушин И.К., Дибиров М.А., Трунин А.С. Применение расплавов в современной науке и технике. Махачкала, 1991, 179 с.
- Берг Л.Г. Введение в термографию. М.: Наука, 1969, 395 с.
- Трунин А.С., Космынин А.С. Проекционно-термографический метод исследования гетерогенных равновесий в конденсированных многокомпонентных системах. Деп. в ВИНИТИ АН СССР № 1372; от 12.07.77, с. 68.
- Миркин Л.И. Справочник по рентгеноструктурному анализу поликристаллов. М.: Госуд. изд-во физ.-мат. лит-ры, 1961. 863 с.
- Диаграммы плавкости солевых систем. Тройные системы. // Под ред. В.И. Посыпайко. М.: Химия, 1977, с. 225.
- Айвазова М.Б. Объемные изображения при исследовании фазовых равновесий в много-компонентных солевых системах: Автореф. канд. дисс. Махачкала, 1999. с. 20.
- Диаграммы плавкости солевых систем. Тройные взаимные системы. // Под ред. В.И. Посыпайко. М.: Химия, 1977, с. 310
- Посыпайко В.И., Васина Н.А., Грызлова Е.С. Конверсионный метод исследования много-компонентных взаимных солевых систем. Докл. АН СССР. 1975. Т. 223. № 5. с. 1191-1194.
- Краева А.Г., Давыдова Д.С., Первикова В.Н. Методы разбиения (триангуляции) диаграмм состава многокомпонентных систем с комплексными соединениями с применением графа и ЭВМ. // Докл. АН СССР, 1972, Т. 202, № 4. с. 850-853.